

日本大学工学部 正員 安田禎輔

まえがき 砂層をはじめ、粒子の微粒な土の透水に関する研究は、透水係数と云うあいまいな要素をのこすが、Darcy 則を中心とした多くの研究がある。しかし砂利層など粗粒子層に関する研究は非常に少なく感する。

筆者は砂利層透水の研究を終局目的とするが、予備的研究として現象を簡単化し均一球形粗粒子層を取り扱い、巨視的見地から一応この現象を大雑把に把握した。

砂層内の潤辺および径深を仮定し、定流における透水層内の微小区間の釣合の条件より抵抗係数 $\zeta$ の形を決定し、透水現象を規定する幾つかの実験因子を列記し、Buckingham のπ定理、および少數の実験結果ではあるが、これらの結果により暫定的な実験式を求めた。

1. 実験装置 内径 10cm、長さ 210cm の塩化ビニールパイプに直徑 1.65cm のガラス玉を詰めたものを透水層本体とし、図のように 25cm 間隔にマノメーターを取り出した循環水路装置とした。

間隙率 25.4%、 $Re = 400 \sim 4000$  の範囲の水平透水の実験を行なった。

2. 砂層内の潤辺 $S$  および径深 $R$   
 $d_m$ ; 代表粒径,  $e$ ; 間隙比

$n$ ; 間隙率,  $A$ ; 透水体の全断面積

$A_s$ ; 固体部分の平均断面積,  $A_v$ ; 間隙断面積,  $N$ ; 透水体全体の土粒子の個数

$\bar{A}_s$ ; 全土粒子表面積の合計

$$nA = A_v = A - \frac{1}{6} \frac{N \pi d_m^3}{\Delta S}, \quad \therefore N = \frac{6 \Delta S}{\pi d_m^3} (1-n)A$$

$$S = \frac{\bar{A}_s}{\Delta S} = \frac{N \pi d_m^2}{\Delta S}, \quad \therefore S = \frac{6}{d_m} (1-n)A = \frac{6A}{d_m(1+e)}$$

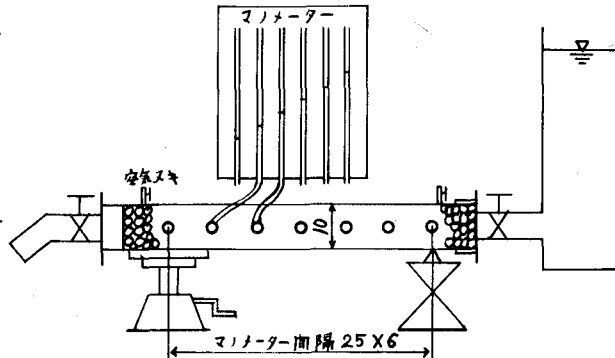
径深 $R$ は  $R = \frac{A_v}{S} = \frac{d_m}{6} \frac{n}{1-n} = \frac{1}{6} e d_m$

3. 抵抗係数 $\zeta$  透水層抵抗 $T$ を  $T = \zeta \rho v^2/2$  と仮定し、透水方向  $\Delta S$  区間の釣合の条件より、透水における抵抗係数 $\zeta$ の一般式が求まる。ただし潤辺としては上記のものを採用した。

$$\zeta = \frac{e}{6} \cdot \frac{2g dm}{v^2} i = \frac{e}{6} \cdot \frac{2g dm \Delta h}{v^2 \Delta S} = \frac{e}{3} \cdot \frac{1}{F_r^2} \cdot \frac{\Delta h}{\Delta S}$$

この抵抗係数は土の透水において用いられてある抵抗係数  $2gd_m \Delta h / v^2 \Delta S = 1\%$  を掛けたものに等しい形になってある。

4. 理論的考察 透水現象を規定する要素としては次のような要素が考えられる。



$$V; \text{浸透流速}, \quad \Delta p; \text{圧力差}, \quad \Delta S; \text{透水層厚}, \quad d_m; \text{砂利の代表粒径}$$

$$\mu; \text{水の粘性係数}, \quad g; \text{重力の加速度}, \quad \rho; \text{水の密度}, \quad e; \text{間隙比}$$

$$C_d; \text{粒子の形状係数}, \quad T; \text{水温}, \quad \gamma_d; \text{粒度係数}, \quad \text{etc.}$$

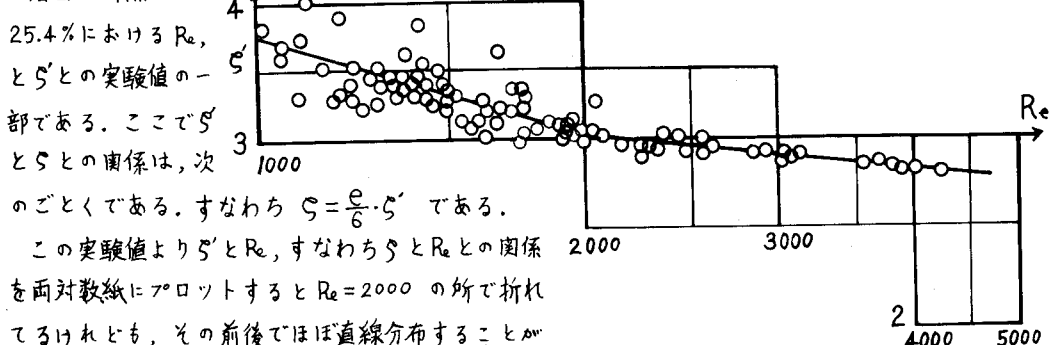
今回の実験においては均一球形粒子について行なつたので  $C_d, \gamma_d$  等をのぞいて、これらの要素の関係式を  $f(V, \Delta p, \Delta S, d_m, \mu, g, \rho) = 0$  とおき、これを無次元化すると

$$\phi \left( \frac{g \cdot \Delta h}{V^2}, \frac{\Delta S}{d_m}, \frac{V d_m}{\nu}, \frac{g d_m}{V^2} \right) = 0$$

$$\text{ここで } \frac{g \cdot \Delta h}{V^2} = \frac{e}{6} \cdot \frac{2g d_m \Delta h}{V^2 \Delta S} = \zeta \cdot \frac{3}{e} \frac{\Delta S}{d_m}, \quad \therefore \zeta = \frac{e d_m}{\Delta S} \phi_1 \left( \frac{V d_m}{\nu}, \frac{\Delta S}{d_m}, \frac{V^2}{g d_m} \right)$$

$$\text{また } R_e = \frac{V d_m}{\nu}, \quad F_r = V / \sqrt{g d_m} \text{ であるから } \zeta = \frac{e d_m}{\Delta S} \phi_2 (R_e, F_r, \Delta S / d_m)$$

右図は間隙比



25.4%における  $R_e$  と  $\zeta$  の実験値の一覧である。ここで  $\zeta$  と  $R_e$  の関係は、次のごとくである。すなわち  $\zeta = \frac{e}{6} \cdot \zeta'$  である。

この実験値より  $\zeta'$  と  $R_e$  、すなわち  $\zeta$  と  $R_e$  との関係を両対数紙にプロットすると  $R_e = 2000$  の所で折れてくれるけれども、その前後ではほぼ直線分布すること分かる。また勾配は  $45^\circ$  でないので Darcy 則に従かれない。

以上のことからにより  $\zeta \propto R_e^{-m}$  となり、抵抗係数  $\zeta$  は次式の形に書き表わせる。

$$\zeta = R_e^{-m} \cdot \frac{e d_m}{\Delta S} \phi_3 (F_r, \frac{\Delta S}{d_m}) \quad \text{と } \zeta = \frac{e}{6} \cdot \frac{2g d_m}{\nu^2} \cdot \frac{\Delta h}{\Delta S}$$

$$\text{より } V = \sqrt[2-m]{\frac{2g}{\phi} \left( \frac{6}{\nu e} \right)^m} \cdot R_e^{\frac{1+m}{2-m}} \lambda^{\frac{1}{2-m}} = \sqrt[2-m]{\frac{eg}{3\phi\nu^m}} \cdot d_m^{\frac{1+m}{2-m}} \lambda^{\frac{1}{2-m}}$$

$$m=1 \text{ の場合は } V = \frac{eg}{3\phi\nu} \cdot d_m^2 \cdot \lambda \text{ となり Darcy 則となる。ただし } \phi = \frac{e d_m}{\Delta S} \phi_4 (F_r, \frac{\Delta S}{d_m})$$

$$\text{ここで } C = \sqrt[2-m]{\frac{2g}{\phi} \left( \frac{6}{\nu e} \right)^m}, \quad n = \frac{1+m}{2-m}, \quad m' = \frac{1}{2-m} \text{ とおけば}$$

$$V = CR^{n'}\lambda^{m'} \text{ となり浸透流速 } V \text{ は指数形流速公式となる。}$$

5. むすび i) Darcy 則には従かわない。ii)  $\zeta = R_e^{-m} b$  と表わせる。  
 iii)  $R_e$  がある値の所で  $m, b$  は変化する。iv)  $b$  は  $e d_m / \Delta S, F_r, \Delta S / d_m$  の関数となる。  
 v)  $m$  は  $d_m, e$  などの関数と予想され  $R_e$  のある値の前後で変化する。vi)  $V$  は指数形に表わせる。  
 だいたい以上のようなことが分ったが、 $R_e - \zeta$  折線の折点、 $\zeta$  関数の関数形の決定、 $m$  値と  $d_m, e$  との関係、Darcy 則から  $\zeta = R_e^{-m} \phi$  則への変遷の状況など、まだ未解決の問題が山積してある。

以上